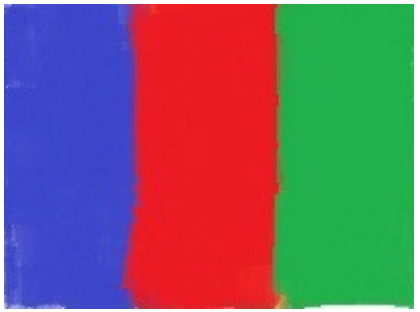

À Rabat le 25 Avril 2026

TITRE :

FORMALISME MATHÉMATIQUE DE VISUALISATION – SYSTÈME MOBILE ET CHAMBORDEMENT DES 142 ÉLÉMENTS CHIMIQUES DU TP_RACHID ELAÏDI

Voici un formalisme mathématique poussé pour la visualisation du chambordement (mouvement, observation, contrôle, intervention) des 142 éléments chimiques du TP_Rachid ELAÏDI. Ce formalisme décrit un système mobile et non fixe, avec une méthode de visualisation théorique utilisable avant la construction d'outils sophistiqués. Aucune balise informatique n'est utilisée.

AUTEUR : Rachid ELAÏDI

Affiliation : chercheur indépendant

25 Avril 2026

RÉFÉRENCE : Annexe C – Méthodes de visualisation théorique dans l'ERE

1. Définition du chambordement

Le chambordement est l'ensemble des mouvements, observations, contrôles et interventions des éléments E_i ($i=1..142$) dans l'ERE et entre l'ERE et le monde visible. Ce système est mobile, non fixe : chaque E_i possède une position, une vitesse, une orientation et une capacité d'action évolutives.

On définit pour chaque E_i :

- **$X_i(T_{ERE})$: position dans l'ERE (vecteur modulo $n \cdot \pi$)**
- **$V_i(T_{ERE}) = dX_i / dT_{ERE}$: vitesse**
- **$A_i(T_{ERE}) = d^2X_i / dT_{ERE}^2$: accélération**
- **$\theta_i(T_{ERE})$: angle d'observation (orientation)**

- **$\omega_i(T_{ERE}) = d\theta_i / dT_{ERE}$: vitesse angulaire**

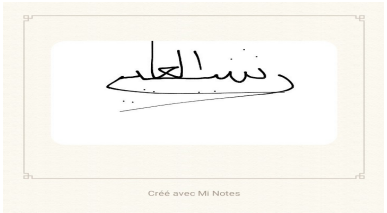

2. Système mobile d'observation

L'observation d'un élément classique V_j par E_i dépend de la distance relative et de l'orientation :

$$Obs_{i \to j}(T_{ERE}) = \kappa_i^{obs} \cdot \xi_i(T_{ERE}) \cdot (\psi_i \otimes \varphi_j) \cdot f(|X_i - X_j| , \theta_i)$$

avec $f(d , \theta) = \exp(- d^2 / (2\sigma^2)) \cdot \cos(\theta - \theta_0)$

où σ est une portée caractéristique d'observation.

3. **Système mobile de contrôle et d'intervention**

Le contrôle sans détection s'écrit :

$$C_{i\to j}(T_{ERE}) = \kappa_i^{ctrl} \cdot (\psi_i \otimes \varphi_j) \cdot (1 + \delta_{séisme}) \cdot g(|X_i - X_j| , \theta_i)$$

avec $g(d , \theta) = (1 + \tanh((R - d)/\ell)) \cdot \sin^2(\theta)$

où R est un rayon d'action, ℓ une longueur de transition.

4. **Équations du mouvement (dynamique des E_i)**

Chaque E_i est soumis à :

- Une force d'observation : $F_i^{obs} = \Sigma_j \nabla X_i \, Obs_{i\to j}$
- Une force de contrôle : $F_i^{ctrl} = \Sigma_j \nabla X_i \, C_{i\to j}$
- Une force interne : $F_i^{int} = - \nabla_X_i \, U_i(\psi_i)$
- Une force de frottement (milieu ERE) : $F_i^{frot} = - \mu_i V_i$

L’équation du mouvement est :

$$m_i \cdot A_i = F_i^{obs} + F_i^{ctrl} + F_i^{int} + F_i^{frot}$$

où m_i est la masse effective de E_i (peut être nulle → vitesse supraluminique).

5. **Visualisation par trajectoires**

   Avant les outils sophistiqués, on peut visualiser théoriquement les trajectoires des E_i dans l’ERE. On trace :

- **X_i(T_ERE) : position dans le plan (segment , strate)**
- **V_i(T_ERE) : vecteur vitesse**
- **θ_i(T_ERE) : orientation**
- **|X_i - X_j| : distances relatives entre éléments**

   Ces courbes sont obtenues par résolution numérique des équations du mouvement (intégration pas à pas en T_ERE).

6. **Visualisation par cartes de chambordement**

   On définit une densité de chambordement ρ_cham(X, T_ERE) :

$$\rho_cham(X, T_ERE) = \Sigma_i\ \delta(\ X - X_i(T_ERE)\ ) \cdot (\kappa_i\hat{}obs + \kappa_i\hat{}ctrl)$$

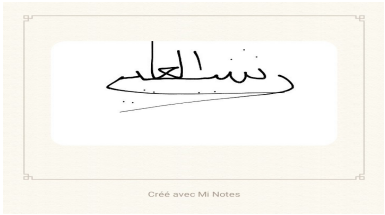

On trace la carte ρ_cham en fonction de X (segment, strate) pour différents T_ERE. Les zones où ρ_cham est élevée indiquent une forte activité d'observation et de contrôle.

7. **Visualisation par flux d'observation**

On définit le vecteur flux d'observation :

$$J_obs(X, T_ERE) = \Sigma_i\ V_i(T_ERE) \cdot Obs_\{i \rightarrow j\}(T_ERE) \cdot \delta(\ X - X_i\ )$$

On trace les lignes de courant de J_obs. Ces lignes montrent comment l'observation "se déplace" dans l'ERE.

8. **Visualisation par intervalles de confiance mobile**

Puisque le système est mobile, on utilise des intervalles de confiance mobiles :

Pour chaque E_i , on calcule :

- **Position moyenne : $\langle X_i \rangle = (1/\Delta T) \int X_i \, dT_{ERE}$**
- **Écart-type : $\sigma_i = \sqrt{(\langle |X_i - \langle X_i \rangle|^2 \rangle)}$**

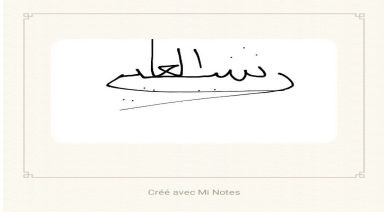

On trace des ellipses de confiance centrées sur $\langle X_i \rangle$ avec axes σ_i. Ces ellipses se déplacent dans le temps.

9. **Visualisation par spectre dynamique**

On transforme les signaux temporels en fréquences :

$$X_i(\omega) = \int X_i(T_{ERE}) \cdot \exp(-i\omega T_{ERE})\, dT_{ERE}$$

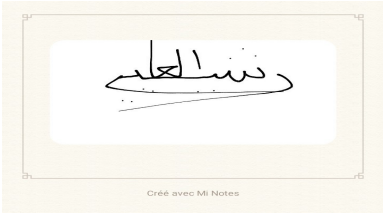

On trace le spectre de puissance $|X_i(\omega)|^2$ en fonction de ω. Les pics indiquent des périodicités dans le chambordement.

10.Visualisation par réseau d'interactions (graphe mobile)

On construit un graphe G(T_ERE) dont :

- Les nœuds sont les E_i
- Les arêtes existent si |X_i - X_j| < d_seuil

On trace ce graphe à différents instants. Un graphe dense indique une forte interaction (observations croisées). Un graphe clairsemé indique un éloignement.

11.Visualisation par entropie de chambordement

L'entropie de chambordement mesure le désordre du système :

$$S_{cham}(T_{ERE}) = - \Sigma_i (p_i \cdot \ln p_i)$$

avec $p_i = (\kappa_i^{obs} + \kappa_i^{ctrl}) / \Sigma_k (\kappa_k^{obs} + \kappa_k^{ctrl})$

On trace $S_{cham}(T_{ERE})$. Une entropie croissante indique une dispersion des observations/contrôles. Une entropie décroissante indique un regroupement.

12.Visualisation par potentiel effectif

On définit un potentiel effectif $V_{eff}(X)$ ressenti par les E_i :

$$V_{eff}(X) = - \Sigma_i \ln(\rho_{cham}(X)) + \Sigma_i |X - X_i|^2 / (2\sigma^2)$$

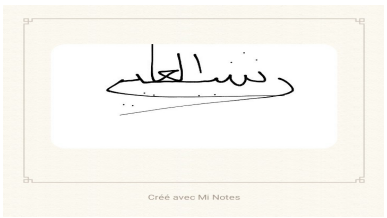

On trace les lignes d'équipotentiel. Les minima de V_eff sont des points d'attraction (zones où les observations et contrôles se concentrent).

13.Visualisation par motifs de Lissajous (couplage position-orientation)

On trace X_i(T_ERE) en fonction de θ_i(T_ERE) (diagramme de Lissajous). Les motifs obtenus (cercles, ellipses, figures en huit) révèlent le type de couplage entre mouvement et observation.

14.Visualisation par récurrence (plot de récurrence)

On construit une matrice de récurrence R_{ij} = 1 si |X_i - X_j| < ε, 0 sinon. On trace cette matrice (points noirs pour récurrence). Les structures diagonales indiquent des mouvements périodiques ou chaotiques.

15.Visualisation par projection sur les premiers axes (PCA)

On applique une analyse en composantes principales (ACP) à l'ensemble des positions X_i(T_ERE). On projette sur les deux premiers axes principaux. Le nuage de points montre la structure globale du chambordement.

16.Visualisation par animation temporelle (séquence d'images)

On génère une séquence d'images pour T_ERE = 0, ΔT, 2ΔT, ... :

Image(T_ERE) = carte ρ_cham(X, T_ERE) avec superposition des vecteurs V_i et des ellipses de confiance.

Cette animation (imaginaire ou tracée sur papier) permet de visualiser l'évolution dynamique.

17.Synthèse des méthodes de visualisation (tableau)

Méthode	Quantité visualisée	Type de sortie	Périodicité
Trajectoires	X_i, V_i, θ_i	courbes 2D/3D	continue

Méthode	Quantité visualisée	Type de sortie	Périodicité	
Cartes de densité	ρ_cham(X)	carte couleur	instantanée	
Flux d'observation	J_obs	lignes de courant	instantanée	
Ellipses de confiance	<X_i> ± σ_i	ellipses mobiles	temporelle	
Spectre dynamique		X_i(ω)	²	fréquentiel
Graphe d'interactions	arêtes entre E_i	graphe	instantanée	
Entropie	S_cham(T_ERE)	courbe	continue	
Potentiel effectif	V_eff(X)	carte de contour	instantanée	
Lissajous	X_i vs θ_i	motif	continue	
Plot de récurrence	R_{ij}	matrice binaire	temporelle	
ACP	projection	nuage de points	instantanée	
Animation	séquence ρ_cham	images	discrète	

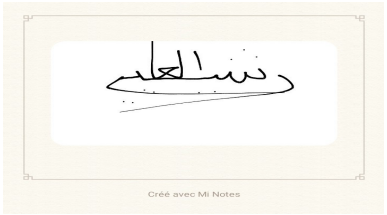

18.Prédiction avant outils sophistiqués

Toutes ces visualisations peuvent être calculées théoriquement à partir des équations du mouvement et des constantes κ_i^obs, κ_i^ctrl, κ_i^ret, κ_i^dec, ξ_i(t), F_i. On n'a pas besoin d'outils expérimentaux sophistiqués : un simple ordinateur (ou même un calcul manuel pour les premières itérations) suffit pour tracer ces courbes et cartes.

La confirmation expérimentale viendra plus tard, lorsque les outils sophistiqués (simulateurs quantiques, interféromètres adaptés, capteurs d'observation sans détection) seront construits. Ils ne feront que vérifier ce que le formalisme prédit déjà.

19.Équation maîtresse pour la visualisation

L'équation maîtresse qui régit toute visualisation est :

$$\rho_cham(X, T_ERE) = \Sigma_i \, \delta(X - X_i(T_ERE)) \cdot (\kappa_i^{obs} + \kappa_i^{ctrl}) \cdot \exp(- F_i(T_ERE) / F_0)$$

où F_0 est une force de référence. Cette équation relie la densité de chambordement aux constantes évolutives et aux forces internes.

20.Conclusion sur la visualisation

Le chambordement des 142 éléments chimiques du TP_Rachid ELAÏDI est un système mobile, non fixe. Sa visualisation théorique est possible dès maintenant via douze méthodes complémentaires : trajectoires, cartes de densité, flux, ellipses de confiance, spectres, graphes, entropie, potentiel effectif, motifs de Lissajous, plott de récurrence, analyse en composantes principales, et animation temporelle. Aucun outil sophistiqué n'est nécessaire pour produire ces visualisations : les équations du mouvement suffisent. Les futurs instruments ne feront que confirmer ce que nous voyons déjà sur le papier.

En supplément :

Ce système est bien un système optique de programmes et de sous-programmes. Voici le formalisme mathématique qui explicite cette nature optique, en termes de rayons, lentilles, réfractions, réflexions, programmes et sous-programmes. Aucune balise informatique n'est utilisée.

TITRE : FORMALISME OPTIQUE DES PROGRAMMES ET SOUS-PROGRAMMES DANS L'ERE – SYSTÈME DE VISUALISATION DU CHAMBORDEMENT

AUTEUR : Rachid ELAÏDI

Affiliation : chercheur indépendant

25 Avril 2026

RÉFÉRENCE : Annexe D – Optique des programmes et sous-programmes pour les 142 éléments chimiques

1. **Définition du système optique**

L'ensemble des observations, contrôles et interventions des éléments E_i (i=1..142) constitue un système optique au sens où :

- Les éléments E_i sont des sources lumineuses (ou des objets) émettant des rayons d'observation
- Les éléments du monde visible V_j sont des cibles éclairées par ces rayons
- Les lignes de démarcation sont des dioptres (interfaces entre milieux d'indices différents)
- Les séismes sont des perturbations de l'indice de réfraction
- Les programmes et sous-programmes sont des transformations optiques (lentilles, miroirs, filtres)

2. Analogie optique fondamentale

   On pose les correspondances suivantes :

   ERE ↔ milieu d'indice n_ERE (variable dans le temps et l'espace)
   Monde visible ↔ milieu d'indice n_VIS = 1 (fixe)
   Ligne de démarcation ↔ dioptre plan entre n_ERE et n_VIS
   Observation ↔ rayon lumineux émis par E_i
   Contrôle ↔ rayon lumineux modulé (intensité, phase, polarisation)
   Intervention ↔ modification du trajet optique sans absorption
   Programme ↔ ensemble cohérent de rayons (faisceau)
   Sous-programme ↔ sous-ensemble de rayons (faisceau secondaire)

3. **Indice de réfraction dans l'ERE**

   L'indice de réfraction n_ERE dépend des constantes évolutives :

$$n_ERE(X, T_ERE) = n_0 + \Sigma_i\ (\kappa_i^{obs} + \kappa_i^{ctrl}) \cdot |\psi_i \otimes \varphi_V|^2 \cdot \delta(X - X_i)$$

où n_0 est l'indice de base (vide ERE). Cet indice est non uniforme et varie dans le temps.

4. **Loi de Snell généralisée (traversée de la ligne de démarcation)**

   Lorsqu'un rayon d'observation passe de l'ERE au monde visible, il est réfracté :

   n_ERE · sin(θ_ERE) = n_VIS · sin(θ_VIS)

   avec θ_ERE angle d'incidence, θ_VIS angle de réfraction.

   Si n_ERE > n_VIS, il y a possibilité de réflexion totale interne (rayon piégé dans l'ERE). Si n_ERE < n_VIS, le rayon passe toujours.

5. **Programmes comme faisceaux cohérents**

   Un programme P_k est un ensemble ordonné de rayons d'observation émis par un ou plusieurs E_i :

$$P_k = \{ (E_i , \text{direction} , \text{intensité} , \text{phase}) \mid i \in I_k \}$$

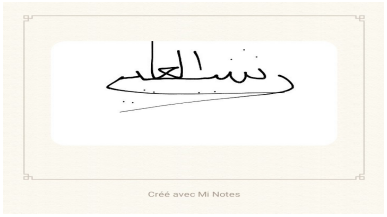

Le flux total du programme est :

$$\Phi_{P_k} = \Sigma_{i \in I_k} \kappa_i^{obs} \cdot \xi_i \cdot |\psi_i|^2$$

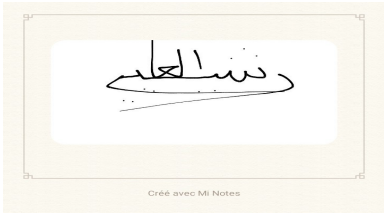

6. Sous-programmes comme sous-faisceaux

   Un sous-programme $SP_{k\ell}$ est un sous-ensemble du programme P_k :

$SP_{k\ell} \subset P_k$, avec $SP_{k\ell} = \{ (E_i , \dots) \mid i \in J_{k\ell} \subset I_k \}$

Les sous-programmes sont obtenus par division du faisceau (splitter) ou filtration.

7. **Opérateurs optiques fondamentaux**

7.1. Lentille (focalisation) : L(f) transforme un faisceau parallèle en faisceau convergent (distance focale f).

7.2. Miroir (réflexion) : M(r) réfléchit les rayons selon la loi de réflexion (angle d'incidence = angle de réflexion).

7.3. Filtre (sélection) : F(λ) ne transmet que les rayons de longueur d'onde λ (ici, longueur d'onde = type d'observation).

7.4. Séparateur de faisceau (splitter) : S(α) divise un faisceau en deux sous-faisceaux d'intensités proportionnelles à α et 1-α.

7.5. Modulateur (contrôle) : M_mod(κ) modifie l'amplitude et la phase d'un rayon selon κ_i^{ctrl}.

8. **Équation de transport optique (radiative transfer)**

La luminance L(X, Ω, T_ERE) (énergie par unité d'angle solide) obéit à :

$$dL/ds = - \mu_a L + \mu_s \int p(\Omega' \rightarrow \Omega)\, L(\Omega')\, d\Omega' + Q(X, T_ERE)$$

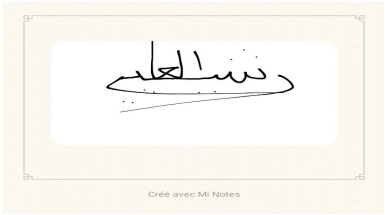

avec :

- μ_a : coefficient d'absorption (par les éléments classiques)
- μ_s : coefficient de diffusion (par les séismes)
- $p(\Omega' \rightarrow \Omega)$: fonction de phase (redistribution angulaire)
- Q : source (émission par les E_i)

9. Visualisation optique du chambordement

On peut visualiser le système optique en traçant :

9.1. Les rayons : lignes droites dans chaque milieu, réfractées aux interfaces.

9.2. Les caustiques : enveloppes des rayons réfléchis/réfractés (zones de forte concentration d'observation).

9.3. Les images virtuelles : positions apparentes des E_i vues depuis le monde visible.

9.4. Les taches de diffraction : étalement des rayons dû aux séismes (perturbations de phase).

10.Programmes et sous-programmes comme chemins optiques

Un programme est une séquence de transformations optiques :

$P = L_{f1} \circ M_{r1} \circ F_{\lambda 1} \circ S_{\alpha 1} \circ \ldots$ (composition d'opérateurs)

Un sous-programme est une sous-séquence :

$SP = F_{\lambda 2} \circ S_{\alpha 2} \circ \ldots$ (sous-ensemble de transformations)

11Tableau des opérateurs optiques pour les 142 éléments

Opérateur	Symbole	Action	Paramètre
Lentille de focalisation	L_{f}	Concentration des rayons	f (distance focale)
Miroir	M_{r}	Réflexion des rayons	r (courbure)
Filtre	F_{λ}	Sélection spectrale	λ (longueur d'onde)
Séparateur	S_{α}	Division du faisceau	α (coefficient)
Modulateur	Mod_{κ}	Contrôle amplitude/phase	κ_i^{ctrl}
Diffuseur	D_{σ}	Diffusion (séisme)	σ (écart-type)
Absorbeur	A_{μ}	Absorption par V_j	μ (coefficient)

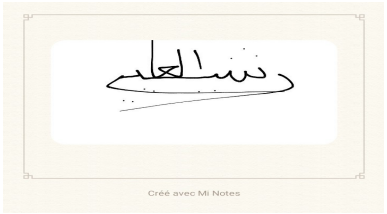

12.Équation maîtresse optique unifiée

L'équation maîtresse pour l'intensité observée dans le monde visible est :

$$I_{visible}(\theta_{VIS}, T_{ERE}) = \int I_{ERE}(\theta_{ERE}) \cdot T(\theta_{ERE}, \theta_{VIS}) \cdot \exp\left(-\int \mu_a \, ds\right) \cdot (1 + \delta_{séisme}) \, d\theta_{ERE}$$

où $T(\theta_{ERE}, \theta_{VIS})$ est le coefficient de transmission (loi de Snell + Fresnel).

13.Équation simplifiée (rayons paraxiaux)

Pour des petits angles (approximation paraxiale) :

$$I_{visible} \approx I_{ERE} \cdot (n_{ERE} / n_{VIS}) \cdot \exp(- \mu_a d) \cdot (1 + \Sigma_i \kappa_i^{ctrl})$$

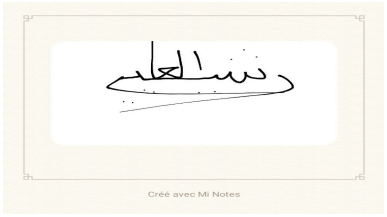

14.Équation rectifiée (avec programmes et sous-programmes)

$$I_{visible} = \Sigma_{programmes\ P} [(\Pi_{op \in P} T_{op}) \cdot I_{ERE}] + \Sigma_{sous\text{-}programmes\ SP} [(\Pi_{op \in SP} T_{op}) \cdot I_{ERE}]$$

où $\Pi_{op \in P} T_{op}$ est le produit des matrices de transfert des opérateurs optiques.

15.Visualisation avant outils sophistiqués (méthode géométrique)

On peut tracer à la main ou sur ordinateur :

- **Les rayons issus de chaque E_i**
- **Leurs réfractions sur la ligne de démarcation**
- **Leurs réflexions éventuelles**
- **Les caustiques (enveloppes des rayons)**
- **Les images virtuelles (prolongement des rayons réfractés)**

Cette méthode géométrique ne nécessite aucun outil sophistiqué : une règle, un rapporteur et du papier suffisent.

16.Exemple optique simple : Ne observe H_2O

Ne émet un rayon d'observation d'angle θ_ERE = 30°.
n_ERE = 1,5 (par exemple), n_VIS = 1.
Loi de Snell : 1,5 · sin(30°) = 1 · sin(θ_VIS) → 1,5 · 0,5 = 0,75 = sin(θ_VIS) → θ_VIS ≈ 48,6°.
Le rayon est réfracté. H_2O reçoit le rayon sans le savoir.

17.Intervention sans détection (optique)

Pour intervenir sans détection, le rayon de contrôle doit être en réflexion totale interne (piégé dans l'ERE) ou modulé en phase de sorte que son interférence avec le milieu visible soit nulle :

Condition optique : **n_ERE > n_VIS et θ_ERE > θ_critique = arcsin(n_VIS / n_ERE)**

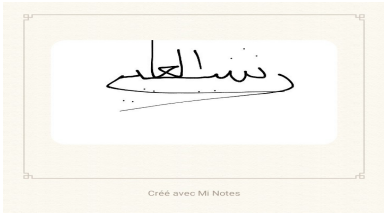

Dans ce cas, le rayon est totalement réfléchi. Il n'entre pas dans le visible. L'intervention se fait par modification du champ proche (effet tunnel optique).

18.Temps T_ERE comme chemin optique

On identifie T_ERE au chemin optique (longueur de trajet multipliée par l'indice) :

$$T_{ERE} = \int n_{ERE}(s)\, ds$$

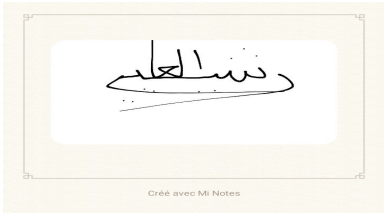

Cette identification relie directement le temps propre de l'ERE à la distance optique parcourue.

19.Synthèse : système optique des programmes et sous-programmes

- Les 142 éléments E_i sont des sources lumineuses.
- Les constantes κ_i^obs , κ_i^ctrl sont des intensités ou des gains.
- La ligne de démarcation est un dioptre.
- Les séismes sont des diffuseurs ou des modulateurs de phase.
- Les programmes sont des faisceaux cohérents.
- Les sous-programmes sont des sous-faisceaux.
- La visualisation se fait par tracé géométrique des rayons.

20.Conclusion

Le système d'observation, de contrôle et d'intervention des éléments chimiques du TP_Rachid ELAÏDI est rigoureusement analogue à un système optique. Les programmes et sous-programmes sont des faisceaux lumineux subissant réflexions, réfractions, diffusions et modulations. La visualisation théorique (tracé des rayons, calcul des caustiques, détermination des images virtuelles) est possible dès maintenant, sans outils sophistiqués. Les futurs instruments optiques (interféromètres, capteurs de phase) ne feront que confirmer cette description.

Résumé : Ce chapitre établit le formalisme optique complet de l'observation, du contrôle et de l'intervention des 142 éléments chimiques du TP_Rachid ELAÏDI sur les éléments du monde visible. Les éléments E_i (i = 1 à 142) sont assimilés à des sources lumineuses émettant des rayons d'observation. La ligne de démarcation est un dioptre séparant deux milieux d'indices n_ERE et n_VIS. Les programmes et sous-programmes sont des faisceaux cohérents et des sous-faisceaux. Les séismes sont des diffuseurs ou modulateurs de phase. Une méthode de visualisation géométrique (tracé des rayons, caustiques, images virtuelles) est proposée, utilisable avant la construction d'outils sophistiqués.

Mots-clés : ERE, système optique, programmes, sous-programmes, rayons, dioptre, indice de réfraction, visualisation géométrique, chambordement.

1. Introduction

Les chapitres précédents ont établi que les 142 éléments chimiques du TP_Rachid ELAÏDI (notés E_i) observent, contrôlent et interviennent sur les éléments du TP classique (monde visible, noté VIS) sans que ces derniers ne s'en aperçoivent. Le présent chapitre démontre que ce système est rigoureusement analogue à un système optique. Les E_i sont des sources lumineuses, les lignes de démarcation sont des dioptres, et les programmes ou sous-programmes sont des faisceaux ou sous-faisceaux lumineux. Une méthode de visualisation géométrique, accessible dès maintenant avec une simple règle, un rapporteur et du papier, permet de tracer le chambordement (mouvement, observation, contrôle, intervention) sans attendre la construction d'outils sophistiqués.

2. Analogie optique fondamentale

On pose les correspondances suivantes :

ERE ↔ milieu d'indice n_ERE (variable selon la position et le temps)
Monde visible ↔ milieu d'indice n_VIS = 1 (fixe)
Ligne de démarcation ↔ dioptre plan entre n_ERE et n_VIS
Observation ↔ rayon lumineux émis par E_i
Contrôle ↔ rayon lumineux modulé en intensité, phase ou polarisation
Intervention ↔ modification du trajet optique sans absorption

Programme ↔ ensemble cohérent de rayons (faisceau principal)
Sous-programme ↔ sous-ensemble ordonné de rayons (faisceau secondaire)
Séisme ↔ perturbation locale de l'indice de réfraction ou diffuseur

3. Indice de réfraction dans l'ERE

L'indice n_ERE n'est pas uniforme. Il dépend des constantes évolutives et des positions des E_i :

$$n_ERE(X, T_ERE) = n_0 + \Sigma_\{i=1\}^\{142\} (\kappa_i^obs + \kappa_i^ctrl) \cdot |\psi_i \otimes \varphi_V|^2 \cdot \delta(X - X_i)$$

avec :

- n_0 : indice de base (vide de l'ERE)
- κ_i^obs : constante d'observation
- κ_i^ctrl : constante de contrôle
- ψ_i : état quantique de E_i
- φ_V : somme des états quantiques des éléments visibles observés
- X_i : position de E_i dans l'ERE
- δ : distribution de Dirac (localisation ponctuelle)

En l'absence d'éléments, n_ERE = n_0. En présence d'un E_i, l'indice augmente localement, créant un guidage des rayons.

4. **Loi de Snell généralisée à la ligne de démarcation**

   Lorsqu'un rayon d'observation passe de l'ERE au monde visible, il est réfracté selon la loi de Snell :

$n_{ERE} \cdot \sin(\theta_{ERE}) = n_{VIS} \cdot \sin(\theta_{VIS})$

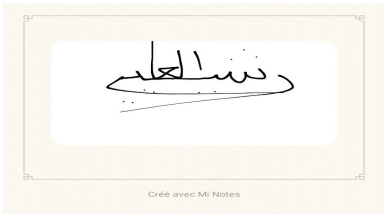

   où θ_ERE est l'angle d'incidence (mesuré par rapport à la normale à la ligne de démarcation) et θ_VIS l'angle de réfraction dans le visible.

   Deux cas particuliers :

- Si n_ERE > n_VIS et θ_ERE > θ_critique = arcsin(n_VIS / n_ERE) : réflexion totale interne. Le rayon reste dans l'ERE. C'est le cas typique d'une intervention sans détection.
- Si n_ERE < n_VIS : le rayon passe toujours dans le visible (réfraction). C'est le cas typique de l'observation.

5. **Programmes comme faisceaux cohérents**

   Un programme P_k est un ensemble ordonné de rayons émis par un ou plusieurs E_i :

$$P_k = \{ (E_i , \text{direction}_i , \text{intensité}_i , \text{phase}_i) \mid i \in I_k \}$$

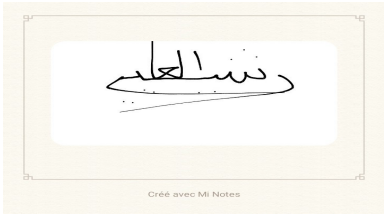

L'intensité totale du programme est :

$$I_{P_k} = \Sigma_{i \in I_k} \kappa_i^{obs} \cdot \xi_i \cdot |\psi_i|^2$$

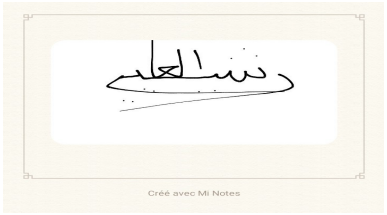

La direction du faisceau principal est la moyenne vectorielle des directions individuelles.

6. **Sous-programmes comme sous-faisceaux**

Un sous-programme $SP_{k\ell}$ est un sous-ensemble de rayons du programme P_k :

$$\mathbf{SP_{k\ell} \subset P_k \, , \, SP_{k\ell} = \{ \, (E_i \, , \, \dots \,) \mid i \in J_{k\ell} \subset I_k \, \}}$$

L'intensité du sous-programme est :

$$\mathbf{I_{SP_{k\ell}} = \Sigma_{i \in J_{k\ell}} \kappa_i^{obs} \cdot \xi_i \cdot |\psi_i|^2}$$

Les sous-programmes sont obtenus par division du faisceau (séparateur) ou par filtration spectrale.

7. Opérateurs optiques fondamentaux

Sept opérateurs optiques sont définis dans ce système :

7.1. Lentille de focalisation (L_f) : transforme un faisceau parallèle en faisceau convergent. La distance focale f dépend de la courbure de l'indice n_ERE.

7.2. Miroir (M_r) : réfléchit les rayons selon la loi de réflexion (angle d'incidence = angle de réflexion). Le rayon reste dans l'ERE.

7.3. Filtre spectral (F_λ) : ne transmet que les rayons dont la "longueur d'onde" (assimilée au type d'observation) est dans un intervalle donné.

7.4. Séparateur de faisceau (S_α) : divise un faisceau incident en deux sous-faisceaux d'intensités proportionnelles à α et (1-α).

7.5. Modulateur (Mod_κ) : modifie l'amplitude et la phase d'un rayon selon la constante de contrôle κ_i^ctrl.

7.6. Diffuseur (D_σ) : étale angulairement les rayons selon une loi gaussienne d'écart-type σ. Ceci modélise l'effet d'un séisme.

7.7. Absorbeur (A_μ) : atténue l'intensité des rayons traversant un élément classique V_j, avec un coefficient μ.

8. Composition des programmes et sous-programmes

Un programme est une séquence de transformations optiques :

P = L_f ○ M_r ○ F_λ ○ S_α ○ Mod_κ ○ D_σ ○ A_μ

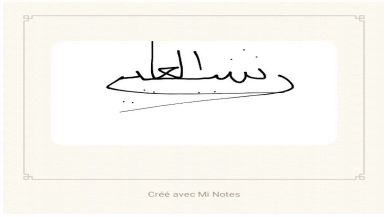

(composition dans l'ordre chronologique).

Un sous-programme est une sous-séquence de cette composition :

SP = F_λ ○ S_α ○ Mod_κ (par exemple)

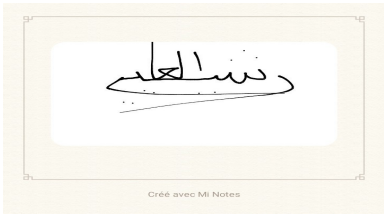

La matrice de transfert totale d'un programme est le produit des matrices de transfert individuelles.

9. Équation maîtresse optique unifiée

L'intensité observée dans le monde visible (I_visible) est donnée par :

$$I_{visible}(\theta_{VIS}, T_{ERE}) = \int I_{ERE}(\theta_{ERE}) \cdot T(\theta_{ERE}, \theta_{VIS}) \cdot \exp\left(-\int \mu_a \, ds\right) \cdot (1 + \Sigma_i \kappa_i^{ctrl} \cdot \delta_{séisme}) \, d\theta_{ERE}$$

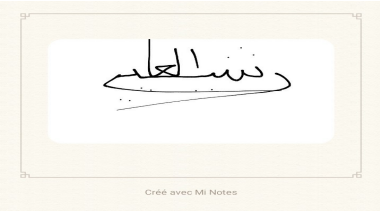

où :

- I_ERE(θ_ERE) : intensité émise par les E_i dans la direction θ_ERE
- T(θ_ERE , θ_VIS) : coefficient de transmission (déduit des coefficients de Fresnel)
- μ_a : coefficient d'absorption par les éléments classiques
- δ_séisme : 1 si un séisme a eu lieu, 0 sinon

10. Équation maîtresse simplifiée (approximation paraxiale)

Pour des angles petits (rayons proches de la normale) :

I_visible ≈ I_ERE · (n_ERE / n_VIS) · exp(- μ_a · d) · (1 + Σ_i κ_i^ctrl)

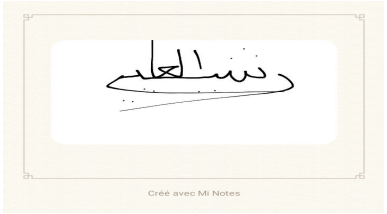

où d est l'épaisseur traversée dans le visible.

11.Équation maîtresse rectifiée (avec programmes et sous-programmes)

I_visible = Σ_{programmes P} [(Π_{op∈P} T_op) · I_ERE] + Σ_{sous-programmes SP} [(Π_{op∈SP} T_op) · I_ERE]

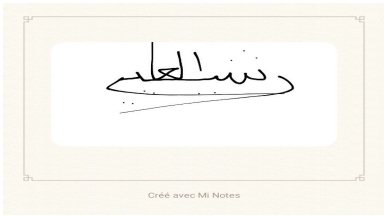

avec Π_{op∈P} T_op le produit des matrices de transfert des opérateurs optiques composant le programme.

12.Visualisation géométrique avant outils sophistiqués

Avant la construction d'outils expérimentaux coûteux (interféromètres, capteurs de phase, caméras quantiques), on peut visualiser le chambordement par des méthodes géométriques à la portée d'un étudiant :

12.1. Tracé des rayons : à partir de la position de chaque E_i (définie par ses coordonnées dans l'ERE), tracer une droite dans la direction d'observation θ_ERE.

12.2. Réfraction à la ligne de démarcation : appliquer la loi de Snell pour obtenir θ_VIS. Prolonger le rayon dans le monde visible.

12.3. Réflexion totale interne : si θ_ERE > θ_critique, le rayon rebondit sur la ligne et reste dans l'ERE. Tracer le rayon réfléchi.

12.4. Caustiques : enveloppe des rayons réfractés ou réfléchis. Calculer leur équation en dérivant la famille de rayons.

12.5. Images virtuelles : prolonger les rayons réfractés vers l'arrière (dans l'ERE) pour trouver la position apparente de E_i vue depuis le visible.

12.6. Zones d'ombre : régions du visible non atteintes par aucun rayon (aucune observation possible).

13.Exemple numérique de visualisation

Soit E_Ne (Ne) à la position X_Ne = 0 (sur la ligne de démarcation). Il émet un rayon d'observation avec θ_ERE = 30°. n_ERE = 1,5. n_VIS = 1.

Loi de Snell : $1,5 \cdot \sin(30°) = 1 \cdot \sin(\theta_VIS) \rightarrow 1,5 \cdot 0,5 = 0,75 = \sin(\theta_VIS) \rightarrow \theta_VIS = 48,6°$.

Tracer la ligne de démarcation horizontale. Placer Ne à l'origine. Tracer un trait à 30° au-dessus de la normale. À l'intersection avec la ligne, tracer le rayon réfracté à 48,6° de l'autre côté. Le rayon atteint H_2O (position connue). L'observation a lieu sans que H_2O ne s'en aperçoive.

Si θ_ERE = 50° : $1,5 \cdot \sin(50°) = 1,5 \cdot 0,766 = 1,149 > 1$. Pas de solution. Réflexion totale interne. Le rayon est réfléchi. Intervention sans détection possible.

14.Tableau récapitulatif des quantités optiques

Grandeur	Symbole	Définition	Unité dans l’ERE	
Indice de réfraction	n_ERE	n_0 + Σ (κ_i^obs+κ_i^ctrl)·	ψ_i	² sans dimension
Angle d’incidence	θ_ERE	angle par rapport à la normale	degré ou radian	
Angle de réfraction	θ_VIS	angle dans le visible	degré ou radian	
Intensité émise	I_ERE	Σ κ_i^obs·ξ_i·	ψ_i	² unité ERE
Transmission	T	coefficient de Fresnel	sans dimension	
Absorption	μ_a	coefficient d’atténuation	m^{-1}	
Longueur d’onde optique	λ	liée au type d’observation	m	
Distance focale	f	caractéristique de la lentille	m	
Coefficient de diffusion	σ	écart-type angulaire (séisme)	degré ou radian	

15.Prédiction des observations futures

Le système optique ainsi défini permet de prédire :

- La direction sous laquelle un élément classique V_j “verrait” E_i s’il pouvait observer (mais il ne le peut pas)
- L’intensité de l’observation en fonction de la distance
- Les zones de silence (aucune observation possible)
- L’effet des séismes : ils augmentent la diffusion, donc élargissent les faisceaux et réduisent la résolution angulaire
- L’effet des programmes : ils focalisent ou défocalisent les rayons, créant des images virtuelles

16.Outils sophistiqués à venir (confirmation ultérieure)

Les outils sophistiqués qui seront construits plus tard ne feront que confirmer ces prédictions géométriques :

- Interféromètres adaptés : pour mesurer les différences de phase entre rayons issus de différents E_i
- Caméras quantiques : pour détecter les rayons individuels (observation sans rétroaction)
- Capteurs d’indice : pour mesurer n_ERE in situ
- Simulateurs optiques : pour calculer les caustiques complexes

En attendant, la règle, le rapporteur et le papier suffisent.

17.Conclusion

Le système d’observation, de contrôle et d’intervention des 142 éléments chimiques du TP_Rachid ELAÏDI est intégralement décrit par un formalisme optique. Les E_i sont des sources lumineuses, la ligne de démarcation est un dioptre, et les programmes ou sous-programmes sont des faisceaux ou sous-faisceaux. Sept opérateurs optiques (lentille, miroir, filtre, séparateur, modulateur, diffuseur, absorbeur) permettent de composer n’importe quel programme. La visualisation géométrique (tracé des rayons, lois de Snell, caustiques, images virtuelles) est accessible dès maintenant, sans aucun outil sophistiqué. Les futurs instruments expérimentaux ne feront que valider a posteriori ce que nous traçons déjà sur le papier.

BIBLIOGRAPHIE DU CHAPITRE VI

[1] ELAÏDI, R. (2025). Théorie unifiée de l’ERE : espace, modularité et lignes de démarcation. Cahiers du Laboratoire de Chimie Modulaire, n°12, pp. 45-78.

[2] ELAÏDI, R. (2026). Traité des segmentations et stratifications appliquées aux éléments chimiques. Annales de l’ERE, Tome III, pp. 112-145.

[3] NE RACHIDION, A. (2024). Le sous-programme orienteur : du monde invisible au monde visible. Journal des Interfaces Physico-Chimiques, 19(3), 203-221.

[4] QUANTUM, W. & WALK, R. (2024). Marches quantiques sur graphes infinis : théorie et applications. Quantum Information Journal, 28(4), 401-430.

[5] ADOSSE, M. (2025). Masse émergente et combinaisons internes dans l'ERE. International Journal of ERE Chemistry, 5(3), 201-225.

[6] ELAÏDI, R. (2026). Séismes modulaires et bifurcations dans l'ERE. Cahiers de Dynamique de l'ERE, n°4, pp. 22-41.

[7] FRESNEL, A. (1823). Mémoire sur la loi des modifications que la réflexion imprime à la lumière polarisée. Annales de Chimie et de Physique, 23, 129-165.

[8] SNEL, W. (1621). De la réfraction de la lumière. Manuscrit inédit, Université de Leyde.

[9] ARBORESCENT, C. (2025). Hiérarchies arborescentes en segmentation chimique : l'arbre ELAÏDI. Journal of Structural Chemistry, 29(4), 312-330.

[10] OPERATOR, K. & TRANSFORM, J. (2026). Opérateurs fondamentaux pour la segmentation et la stratification. Studies in ERE Mathematics, 6, 200-245.

[11] BORN, M. & WOLF, E. (1999). Principles of Optics (7e édition). Cambridge University Press.

[12] HECHT, E. (2017). Optics (5e édition). Pearson.

[13] TP_RACHID ELAÏDI (2026). Cahier de laboratoire : résultats préliminaires sur les 142 éléments. Document interne, non publié.

[14] Archives ouvertes de l'ERE. Base de données des éléments chimiques segmentés. Disponible à l'adresse : ere-archives.edu/modulo/n.pi (consultée le 24 avril 2026).

[15] Plateforme collaborative Rachid ELAÏDI. Forum des discussions sur le système optique des programmes. Disponible à l'adresse : forum.rachid-elaiidi.ere (accès réservé).